

doi: 10.13241/j.cnki.pmb.2014.16.001

· 基础研究 ·

小鼠不同组织及缺氧损伤后的大鼠心肌细胞中 RIP3 的表达 *

单冬凯 邹路路 宋晓伟 赵仙先 荆 清[△]

(第二军医大学长海医院心血管内科 上海 200433 中国)

摘要 目的:检测小鼠组织中受体相互作用丝氨酸 / 苏氨酸蛋白激酶家族(RIPs)表达谱,并检测 RIP3 在大鼠心肌细胞缺氧损伤后的表达。**方法:**①采用荧光实时定量 PCR 分别检测 RIPs 家族基因在小鼠组织(心、肝、肺、肾、脑、小肠、骨骼肌、脾和主动脉)中的 mRNA 表达谱,并采用 Western blot 进一步检测 RIP3 在小鼠组织的蛋白表达谱。②将培养的大鼠心肌细胞分为缺氧组和对照组,缺氧组置于缺氧环境中培养 48 h,采用 western blot 检测其中 RIP3 的表达变化。**结果:**① mRNA 水平:RIP1 mRNA 在脑组织中表达最高,心脏、肺、肾、骨骼肌较低;RIP2 在心脏和肺表达量较其他组织高;RIP3 在肠中表达较其他组织高出 4 倍以上,脑组织中未检测到 RIP3 表达;RIP4 的表达以肺最高,而骨骼肌、脑和血管中表达量低。②蛋白水平:在小鼠组织中,RIP3 表达以脑、骨骼肌中最高,心脏、肝、肺中表达较低。③培养的大鼠心肌细胞中,缺氧组心肌细胞的 RIP3 表达量显著高于对照组($P<0.05$)。**结论:**RIPs 在小鼠组织中呈现差异表达,而在培养的大鼠心肌细胞缺氧损伤后 RIP3 表达升高。

关键词:丝氨酸 / 苏氨酸蛋白激酶家族;心肌细胞;缺氧;坏死

中图分类号:Q95-3;R54 文献标识码:A 文章编号:1673-6273(2014)16-3001-04

Expression Profile of Receptor Interacting Protein 3 in Different Mouse Tissues and Rat's Myocardial Cells with Hypoxia Injury*

SHAN Dong-kai, ZOU Lu-lu, SONG Xiao-wei, ZHAO Xian-xian, JING Qing[△]

(Department of Cardiology, Changhai Hospital, Second Military Medical University, Shanghai, 200433, China)

ABSTRACT Objective: To detect the expression profile of receptor interacting proteins (RIPs) in mouse tissues, and to detect the expression of RIP3 in rat's myocardial cells with hypoxia injury. **Methods:** ① We detected the expression profile of RIPs family in mouse tissues (heart, liver, lung, kidney, brain, intestine, skeletal muscles, spleen and aorta) by real-time fluorescent quantitative PCR, then detected the expression profile of RIP3 protein. ② The myocardial cells of rat were divided into hypoxia group and control. We treated the first group for 48 h on hypoxia to obtain hypoxia injured models, then quantitated the expression of RIP3 by western blot. **Results:** ① On mRNA level, the expression of RIP1 was highest in brain, but lower in heart, lung, kidney and skeletal muscle; the expression of RIP2 was higher in heart and lung than other tissues; RIP3 in the intestine was 4 times higher than other, but it was very low expression in brain; the expression of RIP4 was highest in lung, and was lowest in skeletal muscle, brain, spleen, and vessel. ② Western blot results showed the expression of RIP3 at protein level. It was higher expressed in brain, skeletal muscle, however, lower in heart, liver and lung. ③ After treated on hypoxia, RIP3 of hypoxia group was significantly higher than control in the cultured rat myocardial cell ($P<0.05$). **Conclusions:** The expression of RIPs represented various level in mouse tissues. RIP3 increased in rat myocardial cells under hypoxia injured condition.

Key words: Receptor interacting proteins(RIPs); Myocardial cells; Hypoxia; Necrosis

Chinese Library Classification(CLC): Q95-3; R54 **Document code:** A

Article ID: 1673-6273(2014)16-3001-04

前言

细胞在遭受有害刺激下发生病理性死亡,并伴有组织炎症反应^[1],称为细胞坏死,例如心肌梗死后急性心肌细胞坏死。近期研究发现,受体相互作用蛋白家族 (receptor interacting pro-

teins, RIPs)是调控细胞坏死的重要分子之一。RIPs 是一类具有丝氨酸 / 苏氨酸激酶活性的蛋白激酶,表达于机体各组织细胞中,成员包括 RIP1~RIP7^[2],其中,受体相互作用丝氨酸 / 苏氨酸蛋白激酶 3 (receptor interacting serine threonine kinase 3, RIP3)因与细胞凋亡^[3,4]、细胞坏死^[5]、胚胎发育^[6]、肿瘤发生^[7,8]关

* 基金项目:国家自然科学基金项目(81130005,31100830)

作者简介:单冬凯(1984-),男,硕士研究生,医师,主要研究方向:心血管疾病,电话:021-31161266, E-mail: shandongkai1234@163.com

△通讯作者:荆清,E-mail: qjing@sibs.ac.cn

(收稿日期:2013-10-15 接受日期:2013-11-13)

系密切而受到关注。RIP3 全长 1557 bp, 编码 518 个氨基酸, 最早由 Sun^[3] 和 Yu^[9] 等人发现。RIP3 的结构包括一个 RIPs 家族成员共有的具有激酶活性的 N 末端, 而其 C 末端则不同于其他 RIPs^[3,10]。RIP3 在细胞坏死中扮演着重要角色, 但它在缺氧所导致的心肌细胞坏死方面尚未见报道, 故本实验旨在通过检测 RIP3 表达水平, 发现 RIP3 在缺氧诱导的细胞坏死中的表达改变。

1 材料和方法

1.1 主要材料与试剂

荧光实时定量 PCR 引物、Trizol 购买自 Invitrogen 公司。心肌细胞基础培养基购买自 Sigma 公司。胎牛血清购买自杭州四

季青生物工程材料有限公司。C57BL/6J 小鼠、SD 乳鼠均由第二军医大学实验动物中心提供。

1.2 荧光实时定量 PCR

5 只 6 月龄 C57BL/6J 小鼠, 雌雄不拘, 体重 18~30 g。10% 水合氯醛腹腔注射 0.1 mL 麻醉后, 取心脏、肝、肺、肾、脑、小肠、下肢骨骼肌、脾各 80~100 mg, 并取整条主动脉, 液氮速冻后, 研磨成粉加入 1 mL Trizol, 按照 Trizol 说明书分别提取总 RNA, 取 500 ng RNA 按照逆转录试剂盒说明书逆转录成 cDNA, 将 1 μL cDNA 加入 5 μL Master mix 中, 随后加入各 0.2 μL 的上游和下游引物, 使用定量 PCR 仪(corbett RG-3000A) 对各个组织的 3 份 cDNA 模版扩增 40 个循环。引物见表 1。

表 1 荧光实时定量 PCR 检测 RIP1~RIP4 引物序列

Table1 The primer sequences used for detecting RIP1~RIP4 by real-time fluorescent quantitative PCR

RIPs members	Upstream primer	Downstream primer
RIP1	5'-ACTGCTGAAGATAGGTGCTTCAGAT-3'	5'-GTAAACGGCTTCATCTACTGACCAT-3'
RIP2	5'-TGAACCTATTAGCACCAAACCTACA-3'	5'-TTTGTAACACTGACTCCCTCCCAAAG-3'
RIP3	5'-AAGTGCAGATTGGAACTACAACTC-3'	5'-AGAATGTTGTGAGCTTCAGGAAGTG-3'
RIP4	5'-TGTCACTGTCACTGTGGTATTGATTG-3'	5'-TTAAGAACCCACTATGCCCTCAGAG-3'

1.3 心肌细胞培养和缺氧损伤模型建立

出生 1 天的 SD 乳鼠 8 只, 75% 酒精消毒, 无菌条件下开胸取心室, 快速置入冷却的 D-Hanks 液中, 剪除心房, 随后将心室剪成约 1 mm³ 组织碎块, 加入胰蛋白酶于 37 ℃ 重复消化直至组织块消失, 终止液终止消化。细胞计数后, 以 3 × 10⁵~5 × 10⁵/孔的密度接种于 12 孔板上, 用含 10% 胎牛血清的 DMEM 培养基于 CO₂ 孵箱、37 ℃ 培养。将培养的心肌细胞进行无血清处理 12 h 使细胞同步化, 然后继续置于无血清培液中, 在 1% O₂、94% N₂、5% CO₂ 低氧气体环境中培养 48 h 制备缺氧损伤模型, 以无血清常氧培养作为对照, 缺氧组和对照组各 4 组细胞, 48 h 后收集细胞上清, 用来检测 RIP3 蛋白。

1.4 Western blot

将约 50 mg 小鼠组织样品加入 500 μL 细胞裂解液, 匀浆后离心, 取上清, 12000 rpm 离心 30 min, 取上清保存于 -20 ℃ 备用。用 BCA 法测定蛋白质质量, 取等量蛋白质进行凝胶电泳, 电转移至 PVDF 膜。脱脂奶粉封闭, 加入 RIP3 抗体(1:1000), 4 ℃ 孵育过夜。TBS-T 洗脱后, 加入二抗(1:1000), 室温孵育 120 min。内参为 GAPDH。ECL 化学发光显影, Image J 软件分析。

缺氧损伤心肌细胞的 RIP3 检测与组织检测方法类似, 将心肌细胞缺氧处理后, 分别加入 25 μL 细胞裂解液, 裂解后收集上清, 12000 rpm 离心 30 min, 取上清保存。后续方法同上, 内参为 GAPDH。

1.5 统计方法

采用 SPSS 13.0 统计软件进行 Student's t 检验, 实验数据以均数 ± 标准差表示, P < 0.05 有统计学意义。

2 结果

2.1 RIP1~RIP4 在小鼠组织中 mRNA 表达谱

荧光实时定量 PCR 结果显示: RIP1 mRNA 在脑组织中表达最高, 脾次之, 心脏、肺、肾、骨骼肌较低; RIP2 在心脏和肺表达量较其他组织高; RIP3 在肠中表达较其他组织高出 4 倍以上, 脑组织中未检测到 RIP3 表达; RIP4 的表达以肺最高, 而骨骼肌、脑和血管中表达量低, 脾组织中几乎未检测到 RIP4。

2.2 RIP3 在小鼠组织中的蛋白表达谱

Western blot 结果显示, 在小鼠组织中(见图 2), RIP3 表达在脑、骨骼肌中最高, 心脏、肝、肺中表达较少, 而 RIP3 mRNA 水平表达最高的肠组织中 RIP3 蛋白含量并不高。

2.3 RIP3 在大鼠心肌细胞缺氧处理后表达升高

Western blot 结果显示, 经过缺氧处理后的大鼠心肌细胞中 RIP3 表达水平是对照组的 4 倍左右, 表明 RIP3 蛋白在缺氧心肌细胞中表达升高(* P < 0.05, 见图 3)。

3 讨论

RIPs 是重要的细胞应激传感分子, 参与调控细胞存活、细胞凋亡和细胞坏死过程。本研究结果显示, 在 mRNA 水平, RIP1、RIP3 主要表达于心脏、肾、脑等组织中。而既往研究发现, RIP1 和 RIP3 能够形成促坏死复合体 II, 诱导细胞坏死^[11]。RIP3 作为 RIP1 的上游蛋白, 调节 RIP1 的磷酸化^[5], 并且二者在结构上存在同源结构域 RHIM(RIP homotypic interaction motif), 表明它们功能相似和表达趋同, 这一点在我们的实验中也得到验证。RIP2 组织表达普遍较低, 主要存在于心脏、肺和血管中, 据报道, 可能与细胞增殖和免疫反应相关^[12,13]。

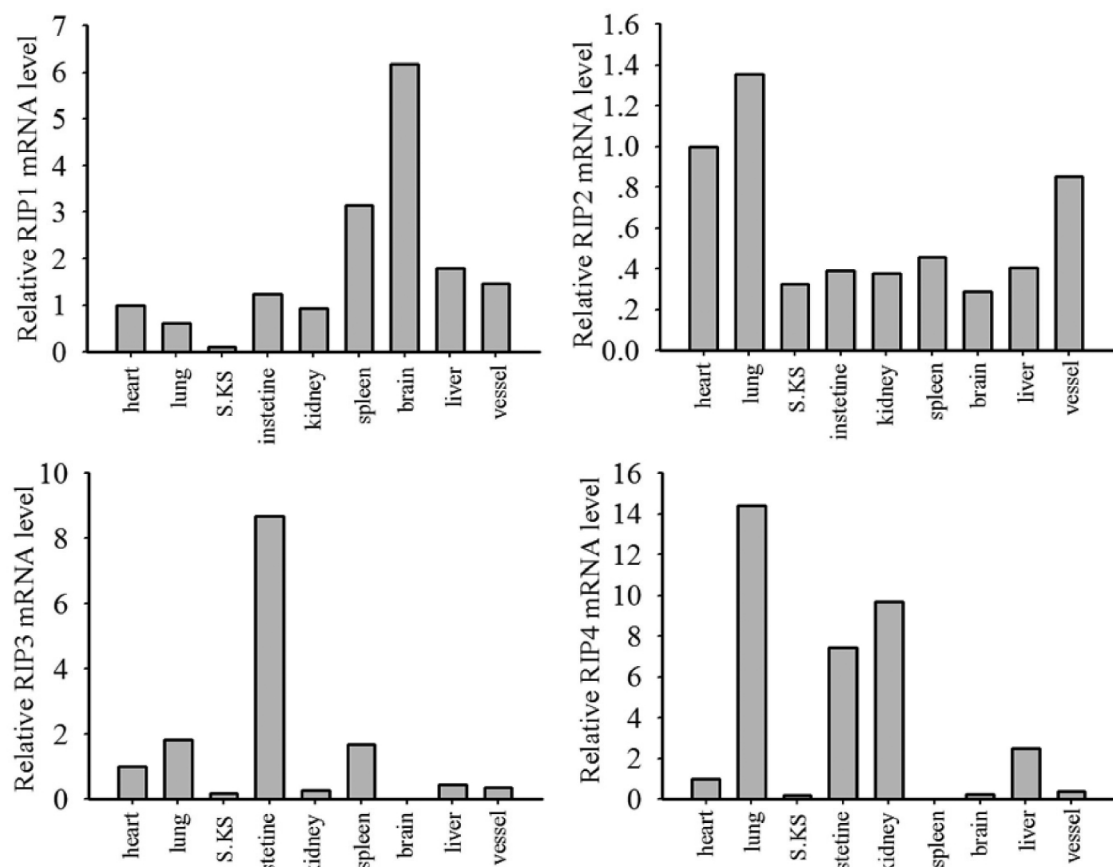


图 1 小鼠 RIP1~RIP4 mRNA 表达谱

注:S.KS 骨骼肌

Fig. 1 The mRNA expression profile of RIP1~RIP4 in mouse

Note: S.KS, skeletal muscle

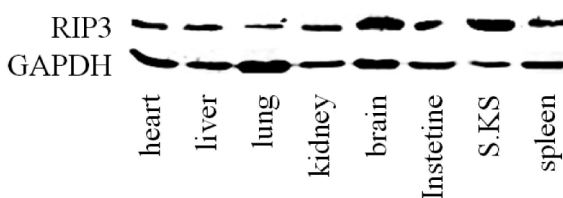


图 2 小鼠 RIP3 蛋白表达谱注:S.KS 骨骼肌

Fig. 2 The protein expression profile of RIP3 in mouse Note: S.KS, skeletal muscle

由于心脏组织中 RIP1、RIP3、RIP4 mRNA 表达较低,且有文献报道 RIP3 与细胞坏死密切相关,因此我们设计选取了 RIP3 作为研究对象。既往表明,在 Phoenix A、HeLa、293E、MCF7 等多种细胞中过表达 RIP3 将导致细胞凋亡^[9,14,15]。但近期研究发现,RIP3 也与细胞坏死关系密切。RIP3 能够正向调控肿瘤坏死因子(tumor necrosis factor α , TNF- α),采用 RNAi 干扰 RIP3 表达后,TNF- α 诱导的细胞坏死受到显著抑制^[7]。TNF- α 处理的 A 细胞(一种不表达 RIP3 的 NIH-3T3 细胞系)发生凋亡,而 N 细胞(一种高表达 RIP3 的 NIH-3T3 细胞系)却在 TNF- α 诱导下发生细胞坏死^[16],这表明 RIP3 是参与调节细胞

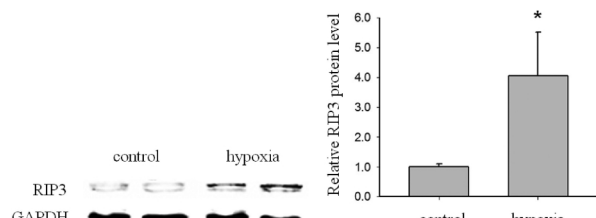


图 3 缺氧处理后的大鼠心肌细胞中 RIP3 表达升高

Fig. 3 The expression of RIP3 increased in mouse myocardial cells after hypoxia treated

凋亡与坏死相互转换的开关分子。此外,RIP3 既能促进核转录因子 NF- κ B 的活化,也能够抑制其活化^[9,14],研究发现,这种作用差异与 RIP1 有关。RIP3 促进了 RIP1 的磷酸化,抑制 RIP1 诱导的 NF- κ B 活化^[17,18],同时 RIP3 也能够在 Hela 细胞中直接活化 NF- κ B,促进 NF- κ B 的核转位,但作用仅相当于 RIP1 的 50% 左右^[4]。

在缺氧的心肌细胞中,升高的 RIP3 增强了糖原磷酸化酶(PYGL)、谷氨酰胺合成酶(GLUL)和谷氨酸脱氢酶(GLUD1)的催化活性,促进了下游产物活性氧(reactive oxygen species, ROS)的蓄积,而已知 ROS 是细胞坏死的重要参与者^[5,16],因此,

RIP3 可能是通过增加 ROS 产物导致了细胞坏死^[19]。RIP3 能够稳定调节促坏死复合体,激活促坏死激酶活性,促进 ROS 产物增加^[5]。敲低 N 细胞中的 RIP3 表达,TNF-α 和 zVAD(一种 caspase 抑制剂)诱导处理后所产生的 ROS 相对浓度比对照组明显降低;相反,恢复 A 细胞中 RIP3 表达后,ROS 表达升高^[16]。而 Vanlangenakker 等人^[20]则发现 cIAP1 能够通过阻止 RIP1/RIP3 依赖的 ROS 产物蓄积,保护细胞免遭 TNF 诱导的坏死,这表明 RIP3 在 ROS 产物诱导的细胞坏死中是必需的。本实验中,缺氧心肌细胞中 RIP3 的表达升高,与以往研究结果相吻合,进一步证实了 RIP3/ROS 参与诱导细胞坏死,但更深层次的机制尚不清楚。

值得注意的是,RIP3 的 western blot 与荧光实时定量 PCR 组织表达谱结果并不一致,可能是 RIP3 蛋白受到转录后调控所致,其诱导坏死的活性应当与蛋白表达高低相对应。

综上所述,RIP3 是决定细胞坏死的重要分子,通过检测缺氧心肌细胞中 RIP3 表达,找到这种小分子参与调节缺氧条件下细胞死亡的证据,探索并发现心肌细胞缺氧损伤机制,对提高细胞应对缺氧的能力具有重要意义。

参 考 文 献(References)

- [1] Festjens N, Vanden Berghe T, Vandenebeele P. Necrosis, a well-orchestrated form of cell demise: signalling cascades, important mediators and concomitant immune response [J]. *Biochim Biophys Acta*, 2006, 1757(9-10): 1371-1387
- [2] Zhang D, Lin J, Han J. Receptor-interacting protein (RIP) kinase family[J]. *Cell Mol Immunol*, 2010, 7(4): 243-249
- [3] Sun X, Lee J, Navas T, et al. RIP3, a novel apoptosis-inducing kinase [J]. *J Biol Chem*, 1999, 274(24): 16871-16875
- [4] Kasof GM, Prosser JC, Liu D, et al. The RIP-like kinase, RIP3, induces apoptosis and NF-kappaB nuclear translocation and localizes to mitochondria[J]. *FEBS Lett*, 2000, 473(3): 285-291
- [5] Cho YS, Challa S, Moquin D, et al. Phosphorylation-driven assembly of the RIP1-RIP3 complex regulates programmed necrosis and virus-induced inflammation[J]. *Cell*, 2009, 137(6): 1112-1123
- [6] Kaiser WJ, Upton JW, Long AB, et al. RIP3 mediates the embryonic lethality of caspase-8-deficient mice [J]. *Nature*, 2011, 471 (7338): 368-372
- [7] He S, Wang L, Miao L, et al. Receptor interacting protein kinase-3 determines cellular necrotic response to TNF-alpha [J]. *Cell*, 2009, 137(6): 1100-1111
- [8] Cerhan JR, Ansell SM, Frederickson ZS, et al. Genetic variation in 1253 immune and inflammation genes and risk of non-Hodgkin lymphoma [J]. *Blood*, 2007, 110(13): 4455-4463
- [9] Yu PW, Huang BC, Shen M, et al. Identification of RIP3, a RIP-like kinase that activates apoptosis and NFkappaB [J]. *Curr Biol*, 1999, 9 (10): 539-542
- [10] Izumi KM, Cahir McFarland ED, Ting AT, et al. The Epstein-Barr virus oncoprotein latent membrane protein 1 engages the tumor necrosis factor receptor-associated proteins TRADD and receptor-interacting protein (RIP) but does not induce apoptosis or require RIP for NF-kappaB activation[J]. *Mol Cell Biol*, 1999, 19(8): 5759-5767
- [11] Li J, McQuade T, Siemer AB, et al. The RIP1/RIP3 necrosome forms a functional amyloid signaling complex required for programmed necrosis[J]. *Cell*, 2012, 150(2): 339-350
- [12] Ehlers S, Mueck T, Adams S, et al. RIP2 regulates growth and differentiation of normal myoblasts and of rhabdomyosarcoma cells [J]. *Eur J Cell Biol*, 2008, 87(3): 163-172
- [13] Adams S, Valchanova RS, Munz B. RIP2: a novel player in the regulation of keratinocyte proliferation and cutaneous wound repair? [J]. *Exp Cell Res*, 2010, 316(5): 728-736
- [14] Pazdernik NJ, Donner DB, Goebel MG, et al. Mouse receptor interacting protein 3 does not contain a caspase-recruiting or a death domain but induces apoptosis and activates NF-kappaB [J]. *Mol Cell Biol*, 1999, 19(10): 6500-6508
- [15] Cho Y, Challa S, Chan FK. A RNA interference screen identifies RIP3 as an essential inducer of TNF-induced programmed necrosis [J]. *Adv Exp Med Biol*, 2011, 691:589-593.
- [16] Zhang DW, Shao J, Lin J, et al. RIP3, an energy metabolism regulator that switches TNF-induced cell death from apoptosis to necrosis [J]. *Science*, 2009, 325(5938): 332-336
- [17] Sun X, Yin J, Starovasnik MA, et al. Identification of a novel homotypic interaction motif required for the phosphorylation of receptor-interacting protein (RIP) by RIP3 [J]. *J Biol Chem*, 2002, 277(11): 9505-9511
- [18] Kaiser WJ, Offermann MK. Apoptosis induced by the toll-like receptor adaptor TRIF is dependent on its receptor interacting protein homotypic interaction motif [J]. *J Immunol*, 2005, 174(8): 4942-4952
- [19] Vandenebeele P, Declercq W, Van Herreweghe F, et al. The role of the kinases RIP1 and RIP3 in TNF-induced necrosis [J]. *Sci Signal*, 2010, 3(115): re4
- [20] Vanlangenakker N, Vanden Berghe T, Bogaert P, et al. cIAP1 and TAK1 protect cells from TNF-induced necrosis by preventing RIP1/RIP3-dependent reactive oxygen species production [J]. *Cell Death Differ*, 2011, 18(4): 656-665